

横浜市高密度強震計ネットワーク観測点における 強震動と常時微動のスペクトル特性の比較

年繩 巧¹・西田秀明²・翠川三郎³・阿部 進⁴

¹正会員 工博 東京工業大学助教授 大学院総合理工学研究科 (〒226-8502 横浜市緑区長津田町4259)

²正会員 工修 建設省土木研究所 耐震技術研究センター耐震研究室 (〒305-0804 つくば市旭1番地)

³工博 東京工業大学教授 大学院総合理工学研究科 (〒226-8502 横浜市緑区長津田町4259)

⁴横浜市総務局灾害対策室防災技術課長 (〒231-0017 横浜市中区港町1-1)

本研究では、横浜市の高密度強震観測ネットワーク観測点 150 地点において観測された強震記録と常時微動記録から求めたスペクトル比の基本卓越周期とピーク値を比較した。強震記録からは、軟岩がほぼ露頭している 5 点の記録を用いた基準スペクトルに対する各地点のスペクトルの比を求めた（強震スペクトル比）。常時微動記録からは、上下動成分に対する水平動のスペクトル比を求めた（H/V スペクトル比）。両スペクトル比の基本卓越周期は、地盤特性がほとんど見られない点を除けば、ほとんどの点で等しい値になることを確認した。強震スペクトル比のピーク値 (A_s) と H/V スペクトル比のピーク値 (A_p) は、ばらつきはあるものの正の相関があることがわかり、この関係を回帰すると $A_s = 0.87A_p$ という式が得られた。

Key Words: strong motion, microtremor, spectral characteristics, site amplification, resonance period, Yokohama, strong-motion spectral ratio, H/V spectral ratio

1. はじめに

過去の地震被害を見ると、地域によって被害の程度が大きく異なることが少なくない。例えば、1989 年ロマブリエタ地震では、サンフランシスコ市の埋め立て地区で家屋等の被害が大であったのに対し、この地区的すぐ南に位置する丘陵地上では被害が軽微であった¹⁾。また、1993 年釧路沖地震の際の釧路市での住家被害は、低地部よりも台地部の方が多かった²⁾。このような被害程度の差は、地域の地盤条件の違いにより地盤特性（地盤の共振周期、增幅率）が空間的に変化し、その結果地震動強さに空間的な偏りが生じ、被害程度に差が生じたことが主因と考えられる。従って、地盤特性の空間分布を評価することは、将来の地震被害の分布を予測し、それに対して適切な対策を講ずる上で重要である。

地盤特性を評価する手法としては、1) 地震記録を用いる方法、2) 地盤データを用いる方法、3) 常時微動記録を用いる方法、などがある。強震記録を用いる方法は、地中や周辺の岩盤で基準となる地震記録が得られている場合には、岩盤に対するスペ

クトル比（強震スペクトル比）を求ることによって各サイトの地盤特性を評価できる³⁾。地盤データを用いる方法は、対象地点の地盤データ（弾性波速度構造）が得られている場合には解放基盤に対するスペクトル比などを求めることにより地盤特性を評価できる⁴⁾。常時微動記録を用いる方法は、地震記録や地盤データが得られない場合に用いられる手法であり、基準点に対する水平成分のスペクトル比や水平成分と上下成分のスペクトル比（H/V スペクトル比）から地盤特性の推定が行われている^{5),6)}。中でも H/V スペクトル比は、地盤構造によく対応している事が古くから指摘されており⁷⁾、地震被害の分布の解釈など実用面で有効に利用されている⁸⁾。しかしながら、この手法の理論的な裏付けは未だ不十分であり⁹⁾、また地震観測結果との対応も少數の地震観測点を対象としたものに留まっている^{10),11)}。

このような背景を踏まえて本研究では、横浜市高密度強震計ネットワークの 150 観測点において、強震スペクトル比や H/V スペクトル比を求め、H/V スペクトル比を用いた簡便な地盤特性評価手法の適用性について検討した。



図-1 横浜市の表層地質図

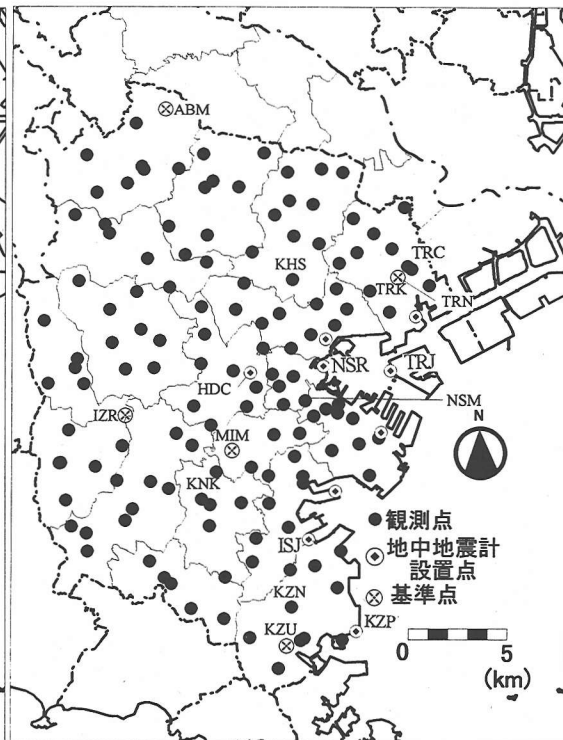


図-2 横浜市高密度強震観測ネットワーク観測点の位置

2. 観測点の概要

(1) 横浜市の地形・地質

図-1 に本研究で対象とする横浜市の表層地質図を示す。横浜市の地形を大きく分けると、市の中部・西部は多摩丘陵に属し、その東は下末吉台地、沖積低地、埋立地となり、東京湾へ至る。多摩丘陵の西は相模原台地に属し、南の一部は三浦丘陵（上総層群、三浦層群）に属する¹²⁾。

図-1 の表層地質の分類によると、多摩丘陵上、下末吉台地及び相模原台地上は主にロームで、海岸及び河川沿いは主に完新統堆積物で構成されており、南部の丘陵上は軟岩がほぼ露頭している。丘陵部は、長年の小河川の浸食によって無数の浸食谷ができ、複雑な波状丘陵となっている。

(2) 強震観測点

図-2 に横浜市が設置した強震観測点を●で示す。さらに図の○で示した 9 地点では、地中地震計も設置されている。強震観測点は、1996 年 5 月に市内各区の消防署あるいは区の合同庁舎に合計 18 台の加速度計が設置され、その後 132 台の加速度計が消防出張所、土木事務所、下水処理場、小・中学校等に設置され、1997 年 5 月より合計 150 の観測点からな

る強震観測ネットワークが本格的に稼動した¹³⁾。尚、150 観測点全点で、軟岩（上総層群）の深さまでの PS 検層が行われている。

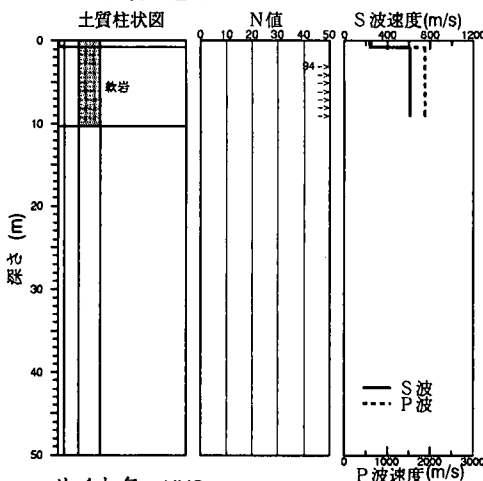
(1) で示したように、横浜市の地形・地質は変化に富んでいる。150 の観測点のうち、特徴的な観測点である IZR, KHS の土質柱状図、N 値、弹性波速度構造を図-3 に示す。IZR では S 波速度が約 600m/s の軟岩がほぼ露頭している。この他、図-2 に位置を示す ABM, KZU, MIM, TRN も表層の厚さが 2m 未満であり、軟岩がほぼ露頭している。一方、KHS は軟岩の上に S 波速度が 200m/s 以下のシルト・腐植土層が 15m 程度堆積している。ここには示していないが、NSM, TRK も軟岩上にそれぞれ 30m, 20m 程度の軟弱層が堆積している。

軟岩がほぼ露頭している観測点 (ABM, IZR, MIM, TRN) が、図-1 の表層地質図で示した南部の露頭軟岩地域以外に位置していることからもわかるように、実際の地盤条件はややマクロ的に示した表層地質図よりも更に変化に富んでいる。

3. 観測記録

横浜市強震観測ネットワークは、1997 年 5 月の本格的稼動以来これまでにいくつかの強震動を観測し

サイト名：IZR



サイト名：KHS

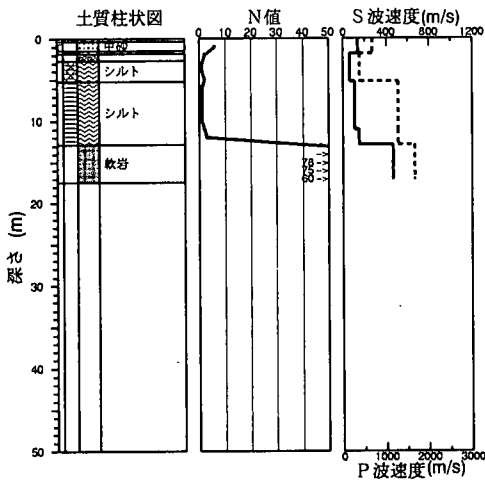


図-3 IZR, KHS の土質柱状図, N 値, 弹性波速度構造た. 表-1 はこれまで観測された地震記録のうち, ほとんどの観測点で記録が得られた地震の諸元を示している. これらの地震の震央位置を図-4 に示す. これらの地震の震央位置は, 横浜市から 30~100km に位置しており, 気象庁マグニチュードや震源深さはそれぞれ 4.6~5.7, 3~108km である.

これらの地震のうち, 1998/5/3 に伊豆で発生した地震 (気象庁マグニチュード : 5.7, 震源深さ : 3km) の際に ABM, IZR, MIM, KHS, NSM, TRK で観測された記録の加速度時刻歴波形 (N-S 成分) を図-5 に示す. 震央距離はどの観測点も 60km 程度である. 最大加速度振幅は ABM, IZR, MIM が $4\sim7 \text{cm/s}^2$ と比較的小さく, KHS, NSM, TRK は $11\sim33 \text{cm/s}^2$ と比較的大きく, この地震による地震動強さが市内全域で大きく変化していることを示唆している. このような現象は, 他の地震においても認められた.

図-5 に記録を示した観測点は, 震央距離の差がほとんどないことから, 地震動強さの地域的な違いは

表-1 強震観測点で記録が得られた地震の諸元

日付	時刻	震央地名	M	深さ(km)	記録数
97. 07. 09	18:36	千葉県北西部	4. 8	77	145
97. 08. 09	05:34	埼玉県南部	4. 7	68	137
97. 09. 08	08:40	東京湾	5. 1	108	144
98. 01. 14	02:17	千葉県北西部	4. 9	76	149
98. 01. 16	10:58	千葉県南部	4. 6	57	148
98. 05. 03	11:09	伊豆半島東方沖	5. 7	3	150
98. 05. 16	03:45	千葉県北西部	4. 8	74	150
98. 06. 14	22:17	千葉県南部	5. 6	51	146
98. 08. 29	08:46	東京湾	5. 1	67	149
98. 11. 08	21:46	千葉県北西部	4. 6	78	150

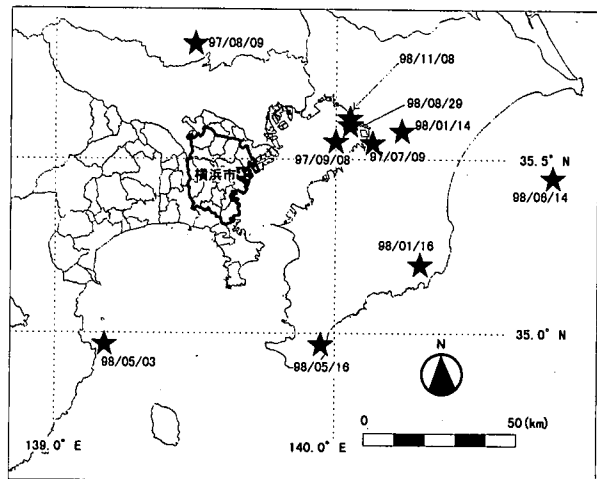


図-4 強震観測点で記録が得られた地震の震央

観測点の地盤条件の影響が大きいと考えられる. 実際, 振幅が比較的大きかった KHS, NSM, TRK は 10m 以上の軟弱層が堆積しており, 振幅が比較的小さかった ABM, IZR, MIM の地盤構造は軟岩がほぼ露頭していることは 2. で述べた通りであり, 地盤構造が地震動の増幅に大きく影響していることがわかる.

図-6 に 1998/5/3 の地震の際, ABM, IZR, MIM, KHS, NSM, TRK で観測された記録のフリエスペクトルを示す. 実線, 点線, 一点鎖線はそれぞれ NS, EW, UD 成分を示す. 上下動のスペクトル振幅は場所によって大きく変化しないのに対し, 水平動のスペクトル振幅は場所によって大きく増幅されている. 即ち, ABM, IZR, MIM は 0.2~2 秒の周期帯域において $1\sim2 \text{cm/s}$ と比較的フラットなスペクトル振幅を持ち, これより短周期側及び長周期側では振幅が減少している. 一方, KHS, NSM, TRK の水平成分は 0.1~1 秒の周期帯域に明瞭な値を持ち, KHS では 0.2 秒と 0.5~0.6 秒付近, NSM では 0.2~0.4 秒付近, TRK では 0.4~0.6 秒付近にピークを

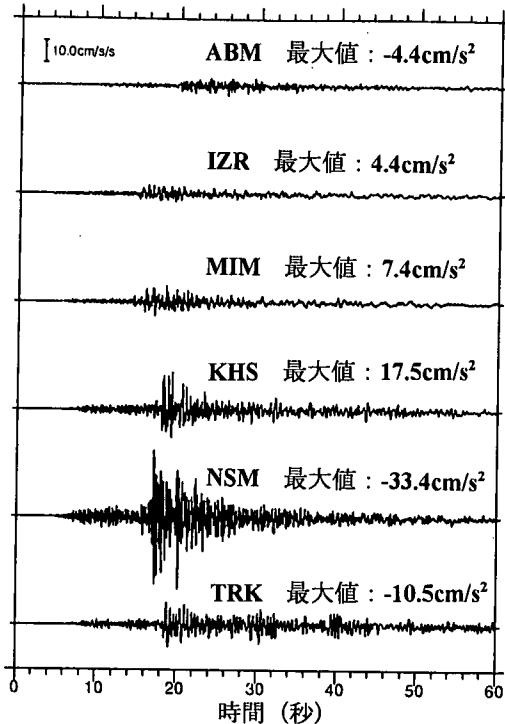


図-5 観測記録(1998/5/3,M=5.7)の加速度時刻歴波形

持つ。このように KHS, NSM, TRK では、0.1~1 秒の周期帯域において地盤震動が増幅されていることがわかる。

4. 各スペクトル比の算定手順

3. で述べたように KHS, NSM, TRK の強震記録には顕著な地盤特性が見られた。このように、強震記録は観測点特有の地盤特性の影響を受けている場合がある。そこで 150 の観測点において強震記録、地盤データ、常時微動記録からそれぞれスペクトル比を求めた。尚、本研究では 0.1~2.0 秒の周期帯域を対象とした。これは、多くの都市構造物がこの周期帯域に固有周期を持っていること、この周期帯域は表層数 10m の地盤構造の影響を受け、場所によって大きく変化しやすいこと等の理由による。以下、各スペクトル比の算定手順を述べる。

(1) 強震スペクトル比

強震記録からは、各観測点の水平動の加速度フーリエスペクトルを基準となるスペクトルで除してスペクトル比を求めた。各観測点のスペクトルは、南北・東西方向の加速度時刻歴波形の S 波立ち上がり部から 20.48 秒間をフーリエ変換し、フーリエ係数から粒子軌跡を作成し、その長軸の長さを求める方

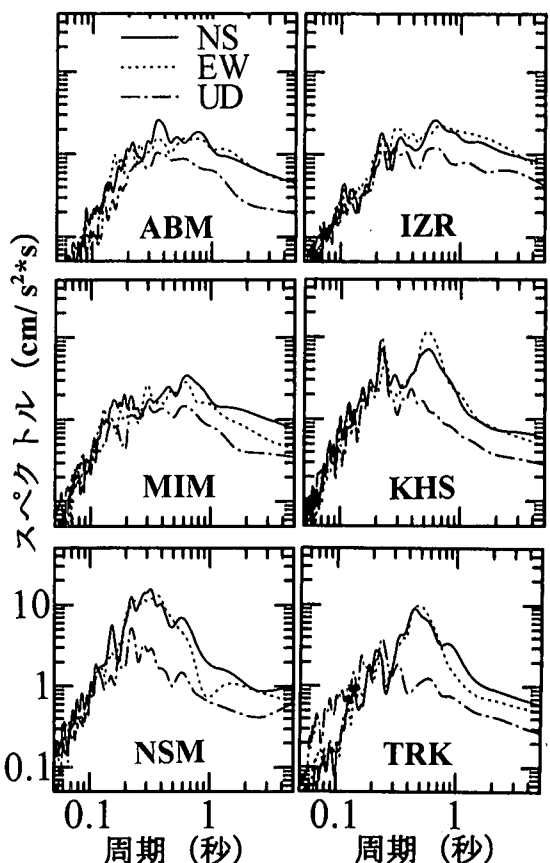


図-6 観測記録(1998/5/3,M=5.7)の加速度フーリエ振幅スペクトル

法¹⁴⁾を用いて水平成分を合成することによって求めた(水平成分合成スペクトル)。

基準となるスペクトルは、150 の観測点のうち軟岩がほぼ露頭しており地盤特性が見られない N_R 個の基準観測点 R_k ($k=1 \sim N_R$) の記録を用いて距離の逆数で重みづけした。即ち、観測点 j での基準となるスペクトル $H_j(T)$ (基準スペクトル) を以下の式で算定した。

$$H_j(T) = \sum_{k=1}^{N_R} H_k(T) / d_{jk} / \sqrt{\sum_{k=1}^{N_R} 1/d_{jk}} \quad (1)$$

ここに、 $H_k(T)$ は R_k での水平成分合成スペクトル、 d_{jk} は観測点 j と k との距離、 T は周期である。 R_k としては、2. で示した軟岩がほぼ露頭している観測点 ABM, IZR, KZU, MIM, TRN を選定した。

基準スペクトルの妥当性を調べるために、図-2 で示した地中観測が行われている地点において露頭岩盤上のスペクトルを推定し(推定露頭岩盤スペク

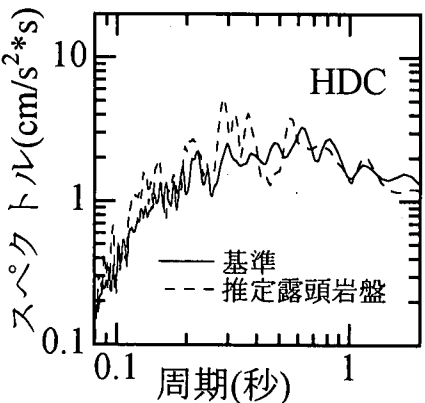


図-7 基準スペクトルと推定露頭岩盤スペクトルの比較

トル), 基準スペクトルと比較した。推定露頭岩盤スペクトルは、地中の軟岩内に設置されている地震計が地表に露頭していると仮定した場合に記録される地震動のスペクトルを推定したものである。具体的には、地表から地中地震計の位置までの地盤構造から地中地震動に対する入射波のスペクトル比を計算し、地中記録のスペクトルにこのスペクトル比の2倍を乗じて求めた。地盤構造は地中地震計より浅い位置の軟岩上部までしか求められていないため、軟岩上部から地中地震計の間の軟岩のS波速度は、地表と地中の地震記録のスペクトル比を利用して推定した。

図-7は1998年5月3日の地震の際のHDCでの基準スペクトルと推定露頭岩盤スペクトルを比較したものである。また、図-8は1998年5月3日、5月16日、8月29日の地震の際のHDC, ISJ, NSR, TRJにおける推定露頭岩盤スペクトルに対する基準スペクトルの比を示している。地震によらずスペクトル比の形状は概してほぼフラットであり、基準スペクトルが露頭岩盤のスペクトルに大略一致していることがわかる。

HDC, ISJ, NSR, TRJにおいて推定された地中地震計位置における軟岩のS波速度はそれぞれ680, 380, 380, 540m/sであった。基準スペクトルの振幅レベルが推定露頭岩盤スペクトルと比較してHDCで同程度、ISJ, NSR, TRJでやや小さめとなることから、基準スペクトルはS波速度600m/s程度の露頭岩盤上のスペクトルに相当していると見なすことができる。

この基準スペクトルで各観測点での水平成分合成スペクトルを除し、紺野・大町が提案した対数型フィルター¹⁹⁾を用いて平滑化する。尚、このフィルターの平滑化の程度を規定するパラメータbはb=20

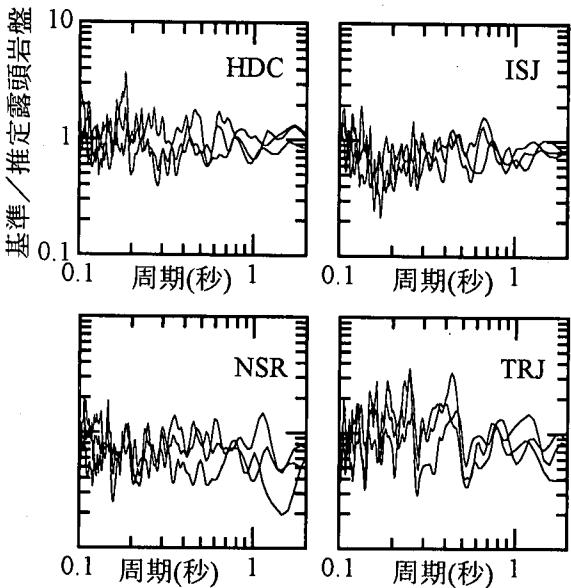


図-8 推定露頭岩盤スペクトルに対する基準スペクトルの比

とした。強震スペクトル比は各地震毎に求められるが、これを平均したものを平均強震スペクトル比と呼ぶこととする。

(2) 理論スペクトル比

各観測点の弾性波速度構造を用いて基盤からの鉛直入射S波に対する地表面での増幅率をS波の重複反射理論から求めた。各観測点は軟岩までの速度構造が得られているが、その軟岩のS波速度は風化の影響で280~760m/sとばらつきがある。地表面の増幅率を観測点同士で比較するためには、基盤のS波速度を同程度の値にする必要がある。ほとんどの観測点の軟岩のS波速度は600m/s以下であり、(1)で示したように強震スペクトル比の基準となる軟岩のS波速度は600m/s程度であることから基盤のS波速度は原則的に600m/sとした。軟岩のS波速度がこれに満たない観測点は、軟岩と基盤層の間に軟岩と基盤層を平均したS波速度と5mの厚さを持つ中間層を与えた。中間層の厚さを5mとしたのは、表層の厚さが6m, S波速度が200m/s、軟岩のS波速度が460m/sである一観測点において検討したところ、中間層厚を5, 10, 20mと変化させても理論スペクトル比の卓越周期や振幅がほとんど変化しなかったためである。また、軟岩のS波速度が600m/sを超える観測点については、この層を基盤層とした。

各層のQ値は福島・翠川が提案する周波数依存型のQ値¹⁹⁾を与えた。このようにして求めた基盤入射波に対する増幅率を2で除し、解放基盤に対する増幅率を求め、これを理論スペクトル比とした。

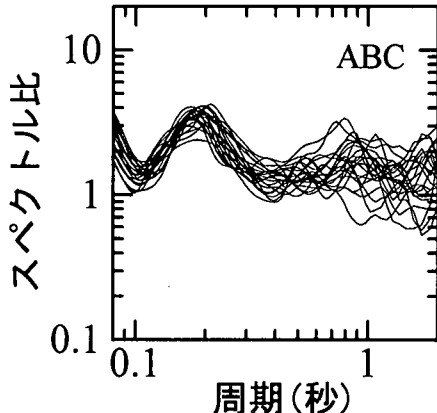


図-9 H/V スペクトル比の時間変動 (ABC)

(3) 常時微動の水平／上下スペクトル比

強震観測点において常時微動を測定し、水平2成分、上下1成分の速度記録から、周辺の交通振動等の影響が少なく、振動が安定している 20.48 秒間のデータを3区間選び、これらをフーリエ変換した。水平2成分のフーリエスペクトルを(1)と同様の手順¹⁰⁾によって合成する（水平成分合成スペクトル）。水平成分合成スペクトルと上下成分のスペクトルを(1)と同様に対数型フィルター¹¹⁾を用いて平滑化する。平滑化した水平成分合成スペクトルを上下成分のスペクトルで除し、求められた3本のスペクトル比を相加平均し、これをその地点の微動から求められたスペクトル特性とし、H/V スペクトル比と呼ぶ。

図-9 は、一観測点 (ABC) で行った常時微動 (3 時間毎) の連続観測の記録から H/V スペクトル比の時間変動を求めたものである。時間によらず 0.2 秒付近に卓越したピークがあり H/V スペクトル比が時間変動が少なく、その地点固有のスペクトル形状を持つことを示している。

5. 強震観測点におけるスペクトル特性の比較

4. で示した手順によって横浜市高密度強震観測点での強震スペクトル比、理論スペクトル比、H/V スペクトル比を求めた。図-10, 11 に KHS, TRK での強震スペクトル比、理論スペクトル比、H/V スペクトル比を比較したものを見せる。細実線は地震毎の強震スペクトル比、太実線はそれらを平均したものの、一点鎖線が理論スペクトル比、破線が H/V スペクトル比である。強震スペクトル比は地震毎に若干異なるものの、卓越周期やそのピークの値は安定しており、その地点固有の地盤特性を表しているものと判断できる。

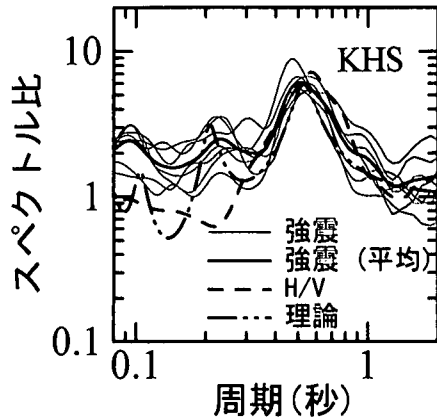


図-10 KHS におけるスペクトル比の比較

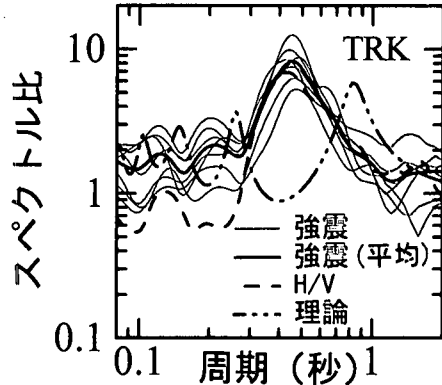


図-11 TRK におけるスペクトル比の比較

KHS では、強震スペクトル比、理論スペクトル比、H/V スペクトル比ともに 0.5~0.6 秒に基本卓越周期があり、ピークの値も 5~7 倍程度とよく合っている。TRK では、強震スペクトル比と H/V スペクトル比は 0.4~0.5 秒に 7~8 倍のピークがあるのに対し、理論スペクトル比は 0.8 秒付近に 6 倍程度のピークがあり異なる。この理由としては、KHS は周辺を台地に囲まれた谷筋に位置しており、地形が急変しているため、弾性波探査から求められた地盤構造が地震計設置点直下の地盤構造と異なる可能性があること、地震動や微動が 2 次元的な地盤構造の影響を受けている可能性があることが挙げられる。このような観測点は全観測点の中で数は限られているものの、理論スペクトル比が強震スペクトル比や H/V スペクトル比とスペクトル形状が異なる可能性があるので、以後は強震スペクトル比と H/V スペクトル比のスペクトル特性の比較結果のみ紹介する。

各観測点での平均強震スペクトル比と H/V スペクトル比の基本卓越周期とそのピーク値を求めた。以後、求められた基本卓越周期とそのピーク値を、そ

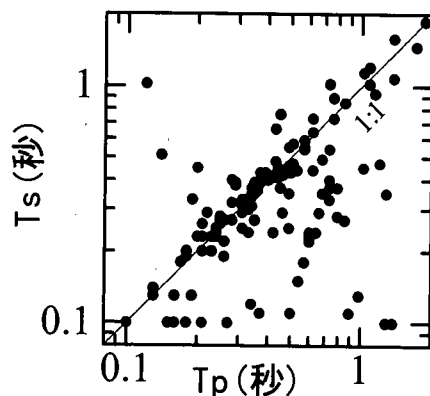


図-12 T_s と T_p の比較 (133 点)

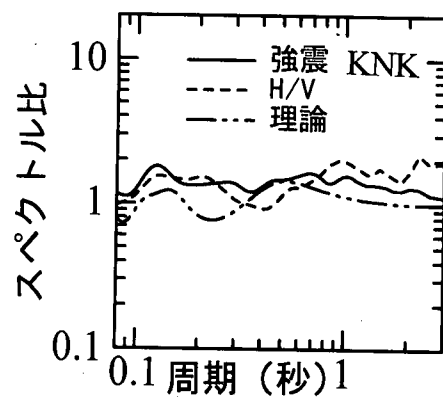


図-13 T_p が明確に決まらない観測点 (KNK) のスペクトル比

それぞれ T_s , A_s (強震スペクトル比), T_p , A_p (H/V スペクトル比) と呼ぶことにする。

横浜市高密度強震観測ネットワークの地震計は、屋外に設置されているが、敷地の制約で建物近くに地震計が設置されている場合がある。高い建物の近くに地震計が設置されている場合、記録に建物の影響が含まれ、自由地盤の特性を表現していない可能性があるので、ここでは 5 階建以上の建物に近接(約 10m 以内)している 11 の観測点は除外することとした。また、観測記録に周辺機械の高周波のノイズが含まれている 1 地点も対象外とした。従って比較の対象となる点は、150 点から上記の地点及び 5 つの基準点を除いた 133 点である。

(1) 基本周期の比較

図-12 は T_s と T_p の比較である。ほとんどの T_p は T_s と等しく、このことから T_p はその地点の地盤の共振周期を表していることがわかる。しかしながら、いくつかの T_p は T_s と異なっている。このような点は、強震スペクトル比や H/V スペクトル比が明瞭なピークを持たず、基本周期の値が明確に決まらない場合が多い。このような点の例 (KNK) を図-13 に示す。図を見ると H/V スペクトル比は明瞭なピークを持たず、この点の H/V スペクトルから T_p を機械的に求めてもその値の信頼性は低いと言える。図-13 を見ると、強震スペクトル比や理論スペクトル比も明瞭なピークを持たず、この地点に顕著な地盤特性がないことを示している。このように A_p が小さい点は A_s も小さい場合が多い。図-14 にこの点の地盤構造を示すが、地表面から深さ 47m の軟岩までの表層のほとんどは砂層で構成され、N 値は 50 以上、S 波速度は 400m/s 以上で地盤コントラストがほとんどない地盤と言える。従ってこのように顕著な地盤特性が見られない点で地盤の基本卓越周期を求め

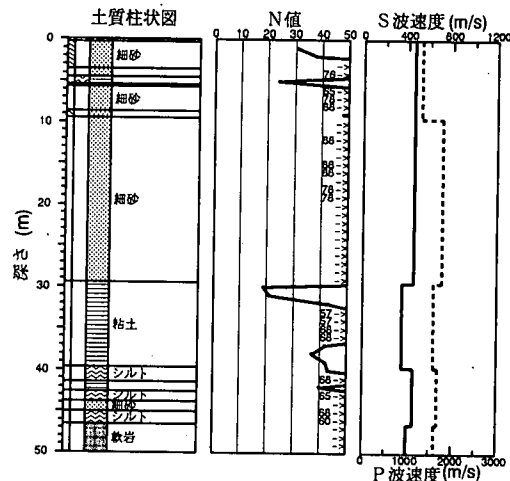


図-14 T_p が明確に決まらない観測点 (KNK) の地盤構造

事は重要ではないと考えられるので、これらの点を除外する事にした。

T_p を評価しない点を決めるために、H/V スペクトル比の T_p , A_p の値を基準として用いた。図-13 に示したように、H/V スペクトル比に明瞭なピークが見られない点は、 A_p が小さい場合が多いので、 A_p が 3 以下である点は取り除くことにした。但し、図-15 に示すように T_p が短い (T_p が 0.2 秒未満) 場合、 A_p が 3 以下であっても T_p が読み取れる場合が多いので、 T_p が 0.2 秒未満の範囲では、 A_p が 3 以下であっても T_p を読み取ることにした。図-16 にこの地点の地盤構造を示すが、この地点では、厚さ 8m 程度、S 波速度 100~300m/s 程度の砂層が S 波速度 600m/s 程度の軟岩層の上に堆積している。この構造から求められる地盤の共振周期は、図-15 の理論スペクトル比で示すとおり 0.15 秒程度と短い。このように硬い岩上に 10m 程度以下の表層が乗っている場合には、短周期帯域に T_p を持つことが多く、その値も意味があると考えられる。

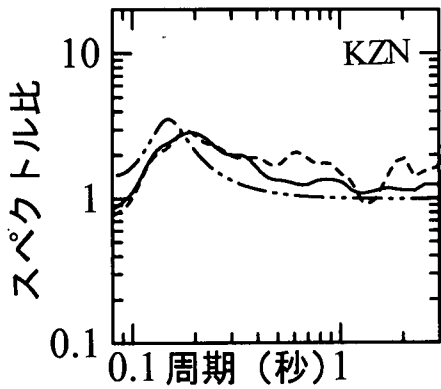


図-15 A_p が 3 以下でも T_p が読み取れる観測点 (KZN) のスペクトル比

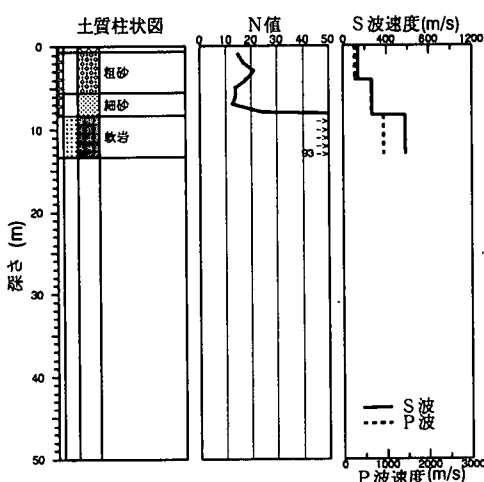


図-16 A_p が 3 以下でも T_p が読み取れる観測点 (KZN) の地盤構造

図-17 に A_p と T_p の分布図を示す。上記の理由から T_p が 0.2 秒以上かつ A_p が 3 未満の 37 点（図中、太枠内）を除いて T_s と T_p の値をプロットすると図-18 のようになった。ほとんどの点で T_s と T_p がほぼ同じ値を示しているが、図中に示す IZN, KZP, MIO, NAT の 4 点は T_s と T_p は大きく異なる。

図-19 に KZP のスペクトル比を示す。H/V スペクトル比は、1 秒付近にピークが見られるが、その値は 3 倍程度と小さく、強震スペクトル比も明瞭なピークを持たない。この点の地盤構造を図-20 に示す。深さ 50m 付近に S 波速度のコントラストがあるが、表層は主に砂層で構成されている点は先の基準で除外した KNK と同様である。紙面の都合上その他 3 点の図は割愛するが、これら 4 点についてのスペクトル比の形状の特徴を調べると、いずれの点も強震スペクトル比は形状がフラットで明瞭なピークを持たない特徴がある。また、H/V スペクトル比も形状がフラットか値の小さな複数のピークを持つ特徴が

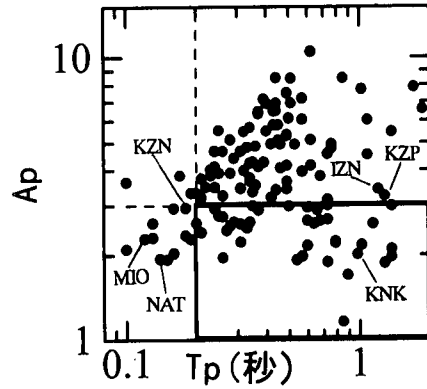


図-17 A_p と T_p の分布

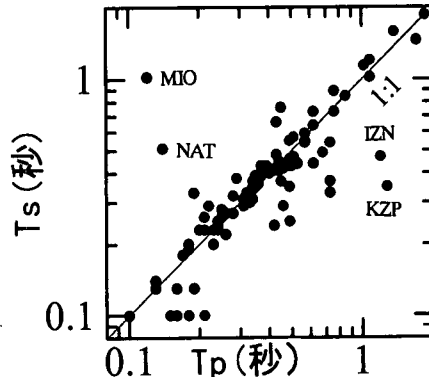


図-18 T_s と T_p の比較 ($T_p \geq 0.2$ 秒かつ $A_p < 3$ の点を除いた場合)

ある。図-17 の A_p と T_p の関係図に IZN, KZP, MIO, NAT の点を示すと、これらの点の A_p は小さく、除外する範囲に近い。このような点を除外する新たな基準を設けることも可能であるが、条件を複雑にすることは実用的ではないので、先に定めた簡単な基準に留めることにした。

以上のように、数点の例外はあるものの、 T_s と T_p はよく対応しており、 T_p から T_s を推定することが可能であることがわかった。このことは既往の研究¹⁰⁾でも限られたデータから指摘されている事であるが、より多数のデータに基づくより広範囲な周期帯域においてこの関係を確認することができた。

(2) ピーク値の比較

図-21 は 133 点における A_s と A_p の比較である。 A_s の値は 1~10, A_p の値は 1~15 に分布している。ばらつきは大きいものの、ほとんどの A_s は $1/2A_p$ と $2A_p$ の間にあっており、 A_p が増加すると A_s も増加するという正の相関がある。この傾向は、限られた数の観測点に対しては過去の研究においても指摘されていることであるが^{10),11)}、本研究によって、より

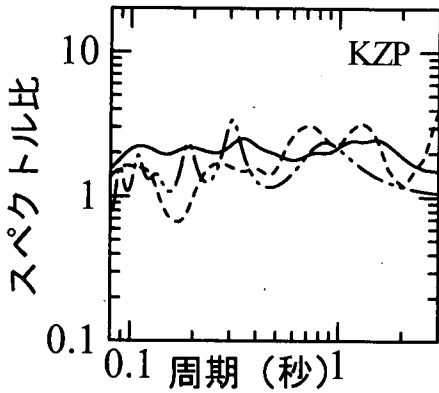


図-19 T_s と T_p が大きく異なる観測点 (KZP) のスペクトル比

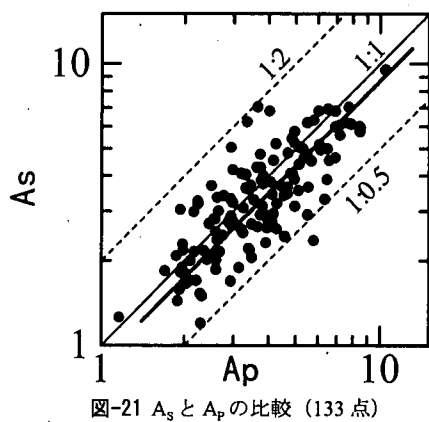


図-21 A_s と A_p の比較 (133 点)

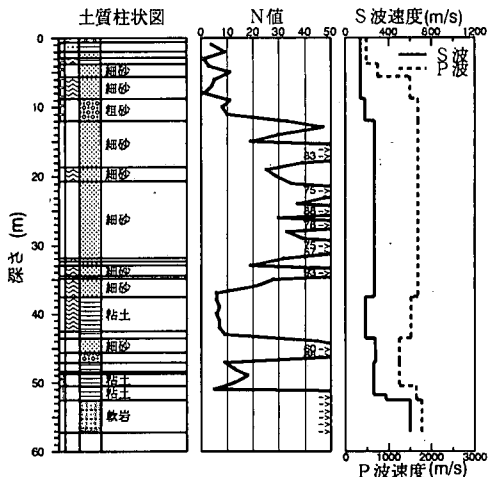


図-20 T_s と T_p が大きく異なる観測点 (KZP) の地盤構造

多種・多様な地盤上においても A_p の値が地盤増幅特性に関連が深いことを確認することができた。

A_s と A_p が関係しているという理由は地盤のコントラストから定性的には説明できる。地盤のコントラストが大きくなるほど A_s の値が大きくなる事は弾性波動論から明らかであり、 A_p の値もまた、地盤のコントラストとともに大きくなることが文献 6)によって指摘されている。従って、 A_s が大きい観測点は A_p も大きい傾向にあると考えられる。

ばらつきはあるものの A_s と A_p が相関があることから、両者に線形関係があると仮定して回帰すると以下の結果を得た。

$$A_s = 0.87 A_p \quad (2)$$

この回帰式の相関係数は 0.76、標準偏差は ±1.0 である。この回帰直線を図-19 に実線で示す。式(2)は、 T_p の比較の際には除外した 37 点も含めて回帰した

ものである。これはこのような点は、 T_p の値には意味がないものの、 A_p の値が小さいという点では地盤增幅が小さいという事を示唆するため、意味があると判断したからである。 T_p の比較の際と同様に 37 点を除いて回帰した場合には、 $A_s = 0.85 A_p$ 、相関係数は 0.72 となる。

本研究では、 A_s を目的変数としてこれを予測する経験式として式(2)を得た。 A_s や A_p はその定義や求め方によって値が若干変化し、結果として式(2)の係数も若干変化するであろう。また、本研究で取り扱った強震記録はほとんどが最大加速度で $50\text{cm}/\text{s}^2$ 以下であり、このような地震動レベルでは非線形性の影響は少ないと考えられるが、大きな加速度レベルの地震動に対しては、式(2)の係数が小さめとなることが予想される。

6. 結論

本稿では、横浜市高密度強震観測ネットワークの観測点において強震記録と常時微動からスペクトル比を求め両者を比較した。その結果以下の結論が得られた。

- 軟岩がほぼ露頭している 5 つの観測点を選び、距離の逆数で重み付けすることにより任意の地点での基準スペクトルを作成した。地中観測が行われている地点において露頭岩盤上のスペクトルを推定し、これを基準スペクトルと比較したところ形状に良い一致が見られ、基準スペクトルが妥当なものであることを確認した。
- これまでに観測された地震に対し、各地点の水平動のスペクトルを基準スペクトルで除しスペクトル比を求めた（強震スペクトル比）。強震スペクトル比は観測点毎に特徴的な形状を示し

- ており、その地点の地盤構造を反映したものであることを示していた。
3. 強震観測点で常時微動を測定し、水平動成分を上下動成分で除したスペクトル比を求めた（H/V スペクトル比）。H/V スペクトル比は時間的な変動が少なくその地点固有のスペクトル形状を示していた。
 4. 強震スペクトル比と H/V スペクトル比の基本卓越周期を比較したところ、地盤特性がほとんど見られない点を簡単な基準を設けて除外すると良い対応を示すことがわかった。
 5. 強震スペクトル比と H/V スペクトル比のピーク値にはばらつきがあるものの正の相関があることがわかった。

謝辞：常時微動測定に際しては、横浜市総務局災害対策室青木隆浩氏、各消防局・土木事務所の協力を得た。深く謝意を表します。

参考文献

- 1) 土木学会耐震工学委員会：ロマブリータ地震震害調査報告、1990。
- 2) 和泉正哲、柴田明徳、飛田潤、南忠夫、境有紀：釧路沖地震による建築構造物の被害、1993年釧路沖地震による被害の調査研究、文部省科学研究費突発災害調査研究成果、pp.139-159、1993。
- 3) 例えれば、Borchardt, R. D. : Effects of local geology on ground motion near San Francisco bay. *Bull. Seism. Soc. Am.*, Vol. 60, pp.29-61, 1970.
- 4) 例えれば、Thomson, W. T. : Transmission of elastic waves through a stratified solid medium, *J. Appl. Phys.*, Vol. 21, pp.89-93, 1950.
- 5) Seo, K., Samano, T., Yamanaka, H., Hao, X., Takeuchi, M. and Kishino, Y. : A simple procedure for predicting seismic motions with microtremor measurements, *Proceedings of the National Symposium on Effects of Surface Geology on Seismic Motion*, pp.207-212, 1989.
- 6) 中村 豊：常時微動計測に基づく表層地盤の地盤動特性の推定、鉄道研究報告、第4巻、pp.18-27、1988。
- 7) 例えれば、野越三雄、五十嵐亨：微動の振幅特性（その2）、地震、第24巻、pp.26-40、1971。
- 8) Ohmachi, T., Nakamura, Y. and Toshinawa, T. : Ground motion characteristics in the San Francisco Bay area detected by microtremor measurements, *Proc. 2nd Int. Conf. On Recent Adv. In Geot. Earthq. and Soil Dyn.*, pp. 1643-1648, 1991.
- 9) Lachet, C. and Bard, P. Y. : Numerical and theoretical investigations on the possibilities and limitations of Nakamura's technique, *J. Phys. Earth*, Vol. 42, pp. 377-397, 1994.
- 10) 松岡昌志、翠川三郎、内山泰生：小田原市内の強震観測とそれに基づく地盤特性の検討、地震、第50巻、pp.1-10、1997。
- 11) Toshinawa, T., Taber, J. J. and Berrill, J. B. : Distribution of ground-motion intensity inferred from questionnaire survey, earthquake recordings, and microtremor measurements-A case study in Christchurch, New Zealand, during the 1994 Arthurs Pass earthquake, *Bull. Seism. Soc. Am.*, Vol.87, No.2, pp.356-369, 1997.
- 12) 国土庁：土地分類図（神奈川県）, 1975。
- 13) Torii, M., Abe, S., Suzuki, M., Shinbo, Y., Aoki, T., Saito, S., Saito, M. and Midorikawa, S. : Investigation for earthquake disaster mitigation using the dense strong-motion network in Yokohama, Japan, *Proc. of the 2nd International Symposium on the Effects of Surface Geology on Seismic Motion*, Vol. 1, pp.341-350, 1998.
- 14) 小林啓美、小林喜久二、光用 篤：常時微動の安定性について、第14回自然災害科学総合シンポジウム講演論文集、pp.347-350、1977。
- 15) Konno, K. and Ohmachi, T. : Ground-motion characteristics estimated from spectral ratio between horizontal and vertical components of microtremor, *Bull. Seism. Soc. Am.*, Vol. 88, No.1, pp.228-241, 1998.
- 16) 福島美光、翠川三郎：周波数依存性を考慮した表層地盤の平均的なQ⁻¹値とそれに基づく地盤增幅率の評価、日本建築学会構造系論文集、第460号、pp.37-46、1994。

(1999. 5. 12 受付)

COMPARISON BETWEEN SPECTRAL CHARACTERISTICS EVALUATED FROM STRONG MOTIONS AND MICROTREMORS AT STRONG-MOTION SITES IN YOKOHAMA

Takumi TOSHINAWA, Hideaki NISHIDA, Saburoh MIDORIKAWA and Susumu ABE

Spectral characteristics of strong motions and microtremors are compared at the dense strong-motion network sites in Yokohama. From strong motions, spectral ratios are evaluated by dividing Fourier amplitude spectra in the horizontal component by reference spectra which are obtained from strong motions on exposed soft rocks (SMSR). From microtremors, horizontal-to-vertical spectral ratios are obtained (HVSR). Good correlation is found between the fundamental periods of SMSRs and HVSRs especially on the condition that less site-amplification sites are excluded. Good correlation is also found between the spectral peak amplitudes of SMSRs and HVSRs (As and Ap, respectively) and the relationship is regressed as $As = 0.87Ap$.